

阿南高尙

正員 井内大治

" " ○湯浅博明

**1. 概 説** 河川の流水から堤防の基部を守るために堤防に直角に短い突出堤が作られる場合がある。このような部分においては流れによって河床が局所的に洗掘される。この報告はこのような突出堤、河口部および海岸などにおける舌堤などの先端部における局所的な洗掘状況について解明するために行なった実験的研究であって、突出堤先端部の洗掘状況について突出堤の長さおよび流量などを変化させて実験を行ない、水面形状、河床形状およびエネルギー損失などの実測資料を求め移動床および固定床における損失について吟味をし、さらに次元解析を行なって局所洗掘に及ぼす突出堤の長さの影響を求めたものである。

**2. 洗掘に関する考察** 固定床における流れを理論的に研究するには一般には運動の方程式、連続の方程式の他に流れの抵抗法則を表わす式が用いられる。移動床についてはさらに流砂の連続式、流砂の運動方程式、移動床における流れの抵抗法則を表す式として水と砂との関係を表す抵抗式などが必要である。また局部洗掘の解析によく相似理論などが用いられる。

(1) 洗掘水深 流水の掃流力によって河床の局部洗掘が行なはれ、河床のすべての奥において限界掃流状態になったと假定する。Fig. 1 において突出堤上含む2つの断面における水深とそれをれか  $h_1$ ,  $h_2$  とすれば摩擦速度が等しいとの条件より

$$V_{c1} = V_{c2} \left( = \frac{\sqrt{g} n D}{h_c R_{c1}^{1/2} B} \right) \quad (1)$$

したがつて  $h_{c1}$  と  $h_{c2}$  との間には

$$h_{c1}/h_{c2} = (B_2/B_1)(R_{c2}/R_{c1})^{1/2} \quad (2)$$

の關係となる。また連続の條件を用いて変形をすれば

$$V_2/V_1 = (S_1/S_2)^{1/2} \quad (3)$$

となる。ここで  $S_1$ ,  $S_2$  は①, ②断面における渦辺の長さである。

(2) 損失水頭について 移動床急変部の流れにおいては局所洗掘によって流れ易くなり損失水頭  $h_f$  は固定床の場合に比べて一般に小さく、また洗掘が進行するに従つて減少していく傾向が見られ、洗掘が終了した場合の損失はほぼ摩擦損失に近いものと思われる。したがつて急変部の実験においては固定床と移動床の実験結果から形状損失の項が分離できる。Fig. 1 において洗掘が十分進み最終的状態になったとき、急変部を含む断面①-①, ②-②および③-③における水深、河床高さ、流速、河中とえれぞれ  $h_1$ ,  $h_2$ ,  $h_3$ ,  $Z_1$ ,  $Z_2$ ,  $Z_3$ ,  $V_1$ ,  $V_2$ ,  $V_3$ ,  $b_1$ ,  $b_2$ ,  $b_3$  とする。水路床に基準面とり①-②の逆向における損失水頭を  $h_s = h_1 + h_f$  とし、壁面の摩擦を無視しエネルギー方程式および運動量方程式を適用すればその式は

$$\frac{V_1^2}{2g} + h_1 + Z_1 = \frac{V_2^2}{2g} + h_2 + Z_2 + h_s + \int_0^{\Omega} \frac{S_2}{wA} dx \quad (4)$$

$$\rho Q (V_2 - V_1) = \frac{w}{2} b_1 h_1^2 - \frac{w}{2} (b_1 - b_2) h_2^2 - \frac{w}{2} b_2 h_2^2 + \frac{w}{2} b_3 (h_3^2 - h_1^2) + \int_0^{\Omega} b_3 dx \quad (5)$$

となる。ここで  $V_1 = \theta/b_1 h_1$ ,  $V_2 = \theta/b_2 h_2$ ,  $h_f = \int_0^{\Omega} \frac{S_2}{wA} dx$ ,  $h_s$ : 形状損失,  $h_f$ : 摩擦損失,  $S$ : 渦

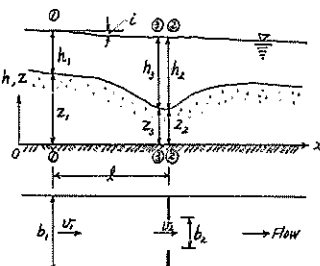


Fig. 1. Definition Sketch of Flow.

辺の長さ,  $\tau_0$ : 底面に働く単位面積当たりの剪断力である。 (4), (5) 式より  $\tau_0$  と消去すれば形狀損失  $h_s$  は

$$h_s = J_0 [PQ(U_2 - U_1) - \frac{W}{2} b_2 (h_2^2 - h_1^2)] + (\frac{U_2^2}{2g} + h_2 + Z_2) - (\frac{U_1^2}{2g} + h_1 + Z_1) \quad (6)$$

無次元化して整理すれば

$$\frac{h_s}{h_1} = J \left[ \left( \frac{1}{J_0} - 1 \right) F_1^2 - \frac{1}{2} \mu r (\beta \delta - d) \right] + \frac{1}{2} \left( \frac{1}{J_0} - 1 \right) F_1^2 + \frac{\mu r}{h_1}, \quad (7)$$

ここで  $J_0 = J_1/J_0$ ,  $J_1 = \frac{1}{\omega} \int_0^D \frac{dx}{R}$ ,  $J_2 = b_1 \int_0^D dx$ ,  $J = \frac{1}{L} \int_0^D \frac{dx}{Y}$ ,  $h_2/h_1 = \alpha$ ,  $h_1/h_1 = 1$ ,  $b_2/b_1 = r$ ,  $b_2/h_1 = \beta$ ,  $\mu r/h_1 = \gamma$ ,  $h_2 = h_1$  の時  $\beta \delta - d = 0$  となり, また  $i = 0$  の時は (7) 式は

$$\frac{h_s}{h_1} = \left[ J \left( \frac{1}{J_0} - 1 \right) + \frac{1}{2} \left( \frac{1}{J_0} - 1 \right) F_1^2 \right] F_1^2 \quad (8)$$

と表はされ形狀損失  $h_s$  と  $h_1$  が比較  $\alpha$ ,  $r$ ,  $F_1$  などで与えられる。

### 3. 突出堤の局部洗掘に関する実験

(1) 実験装置と実験方法 実験に用いた水路は Fig. 2 に示すように巾 40cm, 深さ 40cm, 長さ 11m の鉄製水路である。水路の中央に種々の長さで突出する堰を設け, その下流端に低い砂止め堰と設けて, 平均粒径 0.9mm の一様な砂を約 19cm の厚さにしきならし, 上流より約 6 時間通水して定常状態になったときの水面と砂面形をオイントゲージを用いて 2~10cm 間隔に測定し, 突出堤上下流の平均水深, 最大洗掘水深, 洗掘形状などを測定した。また固定床の場合についても同様な実験を行なった。この一連の実験の種類を Table-1 に示す。

#### (2) 実験結果

1) 流況 Fig. 3 に示す実験結果の一例を示した。移動床においては固定床に比べて水面の變化是非常に小さい。

2) 損失水頭 形狀損失  $h_s$  と摩擦損失  $h_f$  の項を分離するために移動床および固定床における損失の実測値を求めた。Fig. 4 は元水を水の損失の実測値と流量との関係を示したものである。

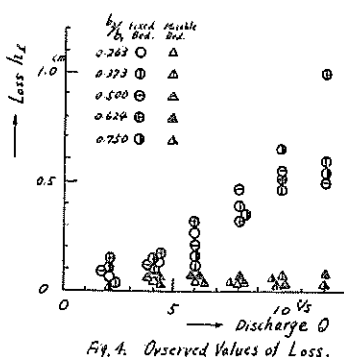


Fig. 4. Observed Values of Loss.

	1	2	3	4	5	6	7	8	9	10	11	12
Fixed Bed												
0°	1/6	0	0	0	0	0	0	0	0	0	0	0
15°	0	0	0	0	0	0	0	0	0	0	0	0
25°	0	0	0	0	0	0	0	0	0	0	0	0
30°	0	0	0	0	0	0	0	0	0	0	0	0
Movable Bed												
0°	1/6	0	0	0	0	0	0	0	0	0	0	0
15°	0	0	0	0	0	0	0	0	0	0	0	0
25°	0	0	0	0	0	0	0	0	0	0	0	0
30°	0	0	0	0	0	0	0	0	0	0	0	0

Table 1. Classification of Experiment.

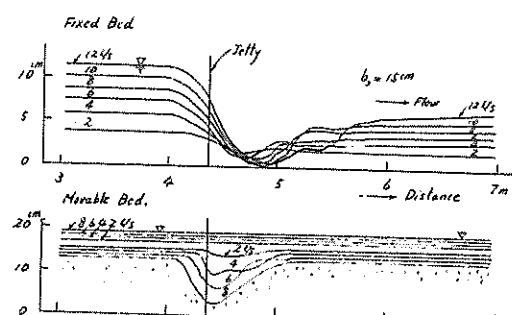


Fig. 3. Experimental Results of Water Surfaces and Bed Profiles on the Fixed Bed and Movable Bed.

### 4. 洗掘に関する次元解析

(1) 局所洗掘水深 突出堤先端の局所洗掘に関する諸要素の間に次の関係が成立する。

$$F(h_1, h_2, b_1, b_2, i, g, P, r, g_s, d, \alpha) = 0 \quad (9)$$

ここで  $h_1$  は急変部より十分離れた水深,  $h_2$  は突出堤先端部の水深,  $i$  は勾配,  $g$  は重力加速度,  $P$

量,  $\rho$  は液体の密度,  $\gamma$  は液体の単位体積重量,  $g_s$  は単位時間当たりの掃流水砂の体積,  $d$  は砂の平均粒径,  $\rho_s$  は砂の密度である。いま反復度数として  $n$ ,  $\rho$  および  $\gamma$  を選んで両項を求めて両項相互の変換および消略を行って变形をすれば

$$\frac{h_1}{h_2} = \Phi_1 \left( \frac{h_1}{b_1}, \frac{b_1}{b_2}, F_r \right) \quad (10)$$

となる。Laursen<sup>11</sup> の研究は (10) 式の左辺と右辺第 2 項との関係を, Garde<sup>12</sup> の研究は第 3 項との関係を求めたものである。また流量  $Q$  より水路中  $b_1$  が一定であれば Fr 数および  $h_1$  が一定となる。したがつて  $\frac{h_1}{h_2} = \Phi_2 \left( b_1/b_2 \right) = m \left( \frac{b_1}{b_2} \right)^n$   $\quad (11)$

ヒ表はされ  $m$ ,  $n$  の値を実験資料から定めることになる。

(2) 上下流における限界掃流水深 局部洗掘が発生する突出堤より十分に離れた處における限界掃流水深は (1) 式に示したように流量  $Q$ , 粒径  $d$ , 河中  $B$  などによって定まる。粒径のよび粗度係数  $n$  が一定であれば限界掃流水深は流量  $Q$  に比例する。

Fig. 5 は  $n=0.012$ ,  $2d^2=55d$  として  $hR^2$  と流量  $Q$  との関係を図示したもので図中の実験計算値を示す。

5. 実験結果に対する考察 突出堤付近の流れにおける損失は形狀損失と摩擦損失であつて、摩擦損失は河床がかなり変化してもあまり変化しないと考えられ洗掘によって減少するのみ形狀損失である。Fig. 6 は (8) 式につき  $F_r = 0.75$  の時の  $h_1/h_2$  の計算値を石数をパラメーターとして示したものである。なお計算に当つて  $J$  の値を用いなければならぬのが実験結果によれば  $J$  の値は Table 2 のようであつてその平均値は 1.85 である。またこの実験においては Fr 数は 0.4 ～ 0.8 位の値になつた。図より明らかのように洗掘の増加 ( $d$  の増加) とともに形狀損失は減少する。前出 Fig. 4 は移動床および固定床における損失水頭の実験結果を図示したものである。また Fig. 7 はこの実験における石数を図示したもので図中の実験は計算値である。

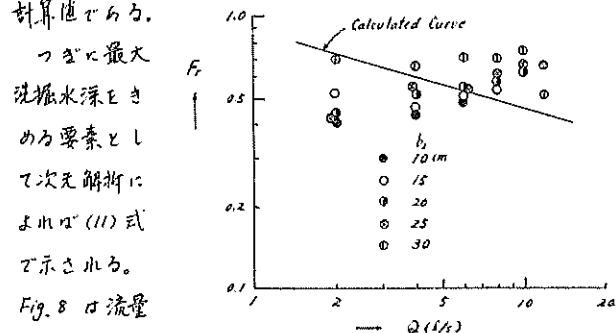


Fig. 8 は流量が一定のものについて  $\frac{h_1}{h_2}$ ,

と  $b_2/b_1$  の実測値を用いて図中の実験は (12) 式を用

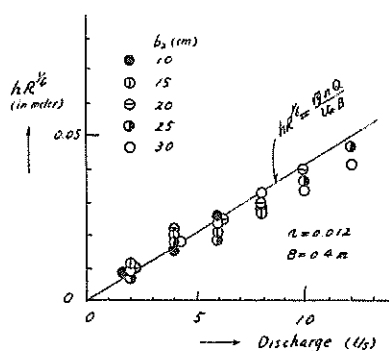


Fig. 5 Relation Between  $hR^2$  and Discharge.

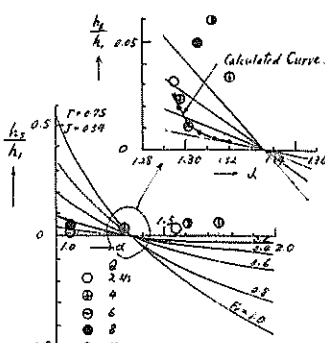


Fig. 6. Calculated Curve Eq. 8.

$b_2$	2	4	6	8	10	12	mean
10cm	1.80	2.21	2.44				2.15
15	1.18	1.69	1.92	2.26			1.72
20	1.92	2.18	1.65	1.60			1.80
25			1.38	1.32	1.26	1.93	1.55
mean	1.69	1.89	1.94	1.81	1.68	1.73	1.85

Table 2. Measured Value of  $\frac{J}{F_r}$ .

(1)で計算した値である。この結果を用いて係数を定めると(3)式

$$\frac{h_s}{h_1} = \left(\frac{b_2}{b_1}\right)^{-m} \quad (12)$$

となる。

6. 結論 この報告は突出堤先端附近における洗掘現象について実験的研究を行ない、水面形状、河床形状、突出部における損失とくに形状損失などについてその性質を明らかにするとともに次元解析を用いて実験結果を整理しきりようとしたところであった。

1) 突出堤附近の流れにおける損失は洗掘の進行に伴つて減少し洗掘が終了すれば底面摩擦損失となる。したがつて形状損失を考慮しなくてよい。

2) 突出堤より十分離れた上下流の水深と河床材料の粒径が一定であれば河床一定となり Fig. 5 に示したような関係が示される。

3) 次元解析の結果より突出部の水深と流量および粒径が一定だから水は突出長さによって定まり突出堤による縮小率  $b_2/b_1$  の比  $b_2/b_1$  の値によって定まる。

これらの実験結果と勾配および粒径を一定として約 6 時間直水とその後の洗掘状況について研究を行なったものである。

#### 参考文献

- 1) Emmett M. Laursen; An Analysis of Relief Bridge Scour. Proc. of A.S.C.E., 1963. H.Y. 3, pp. 93~118,
- 2) R.J. Garde, K. Subramanya, and K.D. Kambudripad; Study of Scour around Spur-Dikes. Proc. of A.S.C.E. 1961. H.Y. 6, pp. 22~165.

(追加)

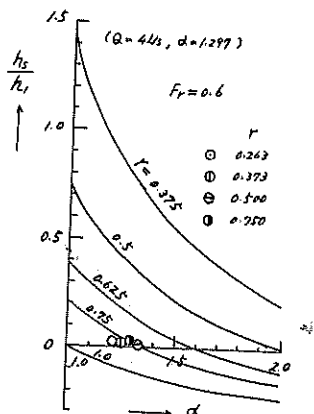


Fig. 9 Calculated Curve Eq. 8.

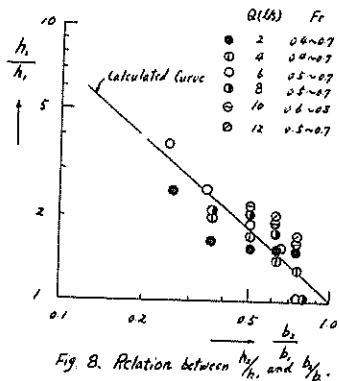


Fig. 8. Relation between  $\frac{h_s}{h_1}$  and  $\frac{b_2}{b_1}$ .